

Modeling and Control of Fuel Sloshing and its Effect on Spacecraft Attitude

M. Navabi^{1*} and A. Davoodi²

1, 2.Faculty of New Technologies Engineering, Shahid Beheshti University

*Postal Code: 1983969411, Tehran, IRAN

m_navabi@sbu.ac.ir

Sloshing phenomenon in spacecraft fuel tank during orbital maneuver, causes adverse effects on spacecraft attitude. Therefore, before orbital maneuvers, modeling fuel sloshing and determining appropriate method for controlling it has to be carried out. The aim of this paper is to model slosh dynamics by using double pendulum model in two-dimensional space. Spacecraft maneuver and pendulums motion are considered in 2D-coordinate, so coupled spacecraft and pendulums dynamic system are 5 degrees of freedom systems. Here, linear control methods (PD and LQR), and also nonlinear control methods (Lyapunov and fuzzy) are determined to stabilize dynamic parameters of the introduced system. Simulation results show that designed controllers have good performance to achieve stabilization of the parameters.

Keywords: Sloshing, Spacecraft attitude, Orbital maneuver, Double pendulum model, Linear control methods, Nonlinear control methods, Stabilization

1. Associate Professor(Corresponding Author)
2. M.Sc. Student

مدل‌سازی و کنترل تلاطم سوخت و اثر آن روی وضعیت فضایما

محمد نوابی^{۱*} و علی داودی^۲

۱ و ۲- دانشکده مهندسی فناوری‌های نوین، دانشگاه شهید بهشتی

*تهران، کدپستی: ۱۹۸۳۹۶۹۴۱۱

m_navabi@sbu.ac.ir

سوخت موجود در مخزن فضایما در حین انجام مانور مداری دچار پدیده تلاطم می‌شود و این پدیده روی وضعیت فضایما اثر نامطلوبی می‌گذارد. بنابراین، باید قبل از انجام مانورهای مداری تلاطم سوخت مدل‌سازی و روشی مناسب برای کنترل آن انتخاب شود. در این مقاله به مدل‌سازی دینامیک تلاطم با استفاده از مدل دو پاندولی در فضای دو بعدی پرداخته شده است. مانور فضایما و حرکت پاندول‌ها در نظر گرفته شده و بنابراین سیستم فضایما و پاندول‌ها سیستمی پنج درجه آزادی خواهد شد. برای پایدارسازی معادلات دینامیکی سیستم معرفی شده هم از کنترلرهای خطی (کلاسیک و LQR) و هم از کنترلرهای غیرخطی (الیاپانوف و فازی) استفاده شده است که البته برای استفاده از کنترلرهای خطی معادلات دینامیکی با استفاده از تقریب مناسب خطی شده‌اند. نتایج شبیه‌سازی موفقیت‌آمیز بودن کنترلرهای طراحی شده بر روی وضعیت فضایما و پاندول‌ها را نشان می‌دهد.

واژه‌های کلیدی: مدل‌سازی تلاطم، دینامیک ترکیب شده تلاطم و فضایما، کنترل وضعیت، کنترل تلاطم، کنترل خطی، کنترل غیرخطی.

مقدمه

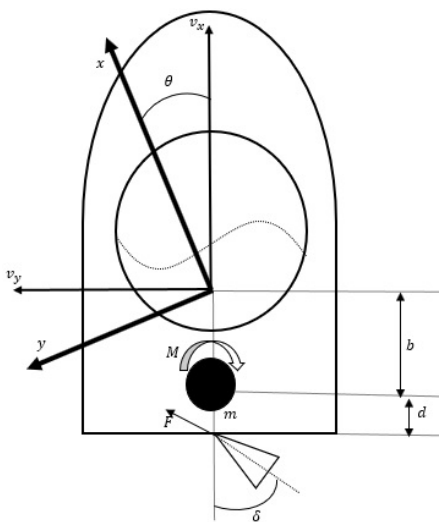
به دلیل کاربرد وسیع ماهواره‌ها در مدارهای با ارتفاع بالا، مانور مداری از جمله ماموریت‌های فضایی بسیار مورد توجه، است. مانور مداری به انتقال فضایما از مدار اولیه به مدار نهایی گفته می‌شود و برای انجام صحیح این امر باید فضایما در زمان و وضعیت از پیش تعیین شده در مدار نهایی قرار گیرد. وضعیت فضایما در حین انجام مانور مداری تحت تأثیر عوامل مختلفی دستخوش تغییرات شده و این باعث خارج شدن فضایما از حالت مطلوب می‌شود. بنابراین، کنترل وضعیت [۱ و ۲] یکی از اساسی‌ترین مسائل در انجام این قبیل ماموریت‌های فضایی است، که البته کنترل وضعیت خود به دو بخش مدل‌سازی [۳-۵] و طراحی کنترل [۶-۹] تقسیم‌بندی می‌شود. از جمله مواردی تأثیرگذار بر روی وضعیت فضایما در حین انجام مانور مداری می‌توان به تلاطم سوخت موجود در مخزن فضایما اشاره کرد [۶]. این سوخت به منظور تولید نیروی تراست

علامه و اختصارات

L	لاگرانژین
ζ_i	بردار زوایای وضعیت پاندول‌ها
R	تابع اثلاف رایلی
τ_t	بردار نیروها
τ_r	момنتوم‌های کلی
V	بردار سرعت محوری مرکز جرم مخزن
ε_i	ضریب دمپینگ جرم‌های پاندولی
a_y, a_x	اینجا و مولفه‌های شتاب مرکز جرم مخزن
F	نیروی تراست موتور اصلی
P	قوانين کنترل تنسی
PD	مشتق‌گیر- تناسبی

۱. دانشیار (نویسنده مخاطب)
۲. دانشجوی کارشناسی ارشد

رسیدن به اهداف کنترل در حالت واقعی‌تر باید از کنترلهای غیرخطی استفاده کرد. البته، دست‌یابی به یک کنترلر غیرخطی کار دشواری است. در این مرحله از کنترل وضعیت، دو کنترلر خطی LQR³ و PD⁴، و دو کنترلر غیرخطی فازی و لیاپانوف برای کنترل وضعیت فضایپیما و پاندول‌ها طراحی شده است. البته، کنترلر فازی برای اولین بار در این مقاله برای کنترل تلاطم سوخت طراحی می‌شود. برای به کارگیری کنترلهای خطی بهتر است که معادلات سیستم خطی شوند. بنابراین، با استفاده از یک تقریب مناسب حول نقطه تعادل پارامترهای سیستم پاندول و فضایپیما، معادلات دینامیکی را خطی کرده و براساس معادلات خطی شده به طراحی کنترلهای پرداخته شده است. همان‌طور که در شکل ۱ می‌توان مشاهده کرد، ورودی‌های کنترلهای طراحی شده که در واقع متغیرهایی هستند که به‌وسیله آن‌ها تلاطم و وضعیت فضایپیما کنترل می‌شوند، انحراف زاویه گیمبال و مومنتوم حول مرکز جرم فضایپیما می‌باشدند. همچنین، برای بررسی عملکرد این کنترلهای یک مثال شبیه‌سازی شده است و تأثیر و تفاوت عملکرد کنترلهای بر روی پارامترهای سیستم مورد مطالعه قرار گرفته است.



شکل ۱- مدل فضایپیما همراه با مخزن سوخت

مدل‌سازی و معادلات دینامیکی

در مطالعاتی که در زمینه تعامل بین دینامیک تلاطم و فضایپیما صورت گرفته نشان داده شده است که مدل‌های مکانیکی مانند پاندول یا جرم-فرنر به خوبی می‌توانند دینامیک پیچیده تلاطم را مدل کنند. بنابراین در این بخش نیز به مدل‌سازی دینامیک تلاطم

برای انجام مانور مداری در فضایپیما تعییه شده و درصد آن نسبت به جرم کل فضایپیما، درصد بالایی است. به طور مثال ۴۰ درصد از جرم ماهواره‌های زمین آهنگ به سوخت اختصاص دارد [۱۰]. در نتیجه اگر این میزان سوخت تحت تأثیر شتاب دورانی و یا محوری دچار تلاطم شود، به راحتی می‌تواند وضعیت فضایپیما را از حالت مطلوب خارج کند. بنابراین، تلاطم سوخت یکی از مسائل بسیار مهم کنترل وضعیت فضایپیما در حین انجام مانور مداری است که در چند دهه اخیر مورد بحث و مطالعه قرار گرفته است [۱۱-۱۳].

مطالعات زیادی در زمینه کنترل تلاطم و اثر آن بر روی وضعیت فضایپیما انجام شده است. همان‌طور که گفته شد کنترل وضعیت به دو بخش مدل‌سازی و طراحی کنترل تقسیم‌بندی می‌شود. در این مطالعات نشان داده شده است که مدل‌های مکانیکی پاندول [۱۵] و [۱۶] و یا جرم-فرنر [۱۴] به خوبی می‌توانند دینامیک پیچیده تلاطم را تقریب بزنند. برخی از این مطالعات کل جرم سوخت را متلاطم و برخی دیگر قسمتی از سوخت که به مخزن چسبیده و همراه آن حرکت می‌کند را غیرمتلاطم و قسمتی را متلاطم، در نظر گرفته‌اند. در این مطالعات برای بررسی اولین مد از تلاطم از مدل تک پاندول [۱۳] و یا تک جرم-فرنر [۱۷] استفاده شده است. بدین صورت که جرم متلاطم به‌وسیله یک پاندول و یا یک جرم-فرنر، و جرم غیرمتلاطم به‌وسیله یک جرم صلب که به مخزن چسبیده و همراه آن حرکت می‌کند، مدل شده است. همچنین، برای بررسی تعداد مدهای بیشتر تلاطم از مدل چند پاندول [۱۸] و یا چند جرم-فرنر [۲۰] و [۱۹] استفاده شده است.

در این مقاله فضایپیمایی در حین انجام مانور مداری در صفحه دو بعدی و دارای یک مخزن کروی سوخت، در نظر گرفته شده است. تنها بخشی از مخزن پر بوده و سوخت موجود در آن دچار تلاطم شده است. همچنین، در اینجا بخشی از سوخت متلاطم و بخشی دیگر غیرمتلاطم در نظر گرفته شده است. برای مدل‌سازی قسمت متلاطم سوخت از مدل دو پاندولی در فضای دو بعدی و برای مدل‌سازی قسمت غیرمتلاطم از یک جسم صلب کروی که در مرکز جرم سوخت غیرمتلاطم قرار داشته و همراه با مخزن حرکت می‌کند، استفاده شده است. حرکت فضایپیما در صفحه می‌باشد و دارای سه درجه آزادی می‌باشد. همچنین، پاندول‌ها در فضای دو بعدی در نظر گرفته شده‌اند و هر کدام از آن‌ها دارای یک درجه آزادی می‌باشد. پس در مجموع سیستم فضایپیما و پاندول معرفی شده دارای پنج درجه آزادی می‌باشد. پس از مشخص شدن مدل‌سازی، معادلات دینامیک ترکیب شده فضایپیما و پاندول‌ها با استفاده از معادلات کرشف [۲۱] به دست آورده شده است. پس از آن نیز به بخش دوم کنترل وضعیت یعنی طراحی کنترلر می‌پردازیم. معادلات دینامیکی به دست آمده، معادلاتی غیرخطی هستند و برای

3. Proportional-Derivative (PD)
4. Linear Quadratic Regulator (LQR)

در این معادلات L لاگرانژین است و به دلیل این فرض که فضایپما در حال انجام مانور در محیط بدون گرانش است.

$$L = T - U, U = 0 \Rightarrow L = T \quad (4)$$

بنابراین، لاگرانژین برابر است با انرژی جنبشی تمام اجزای سیستم فضایپما و پاندولها، یا به عبارتی دیگر:

$$L = \frac{1}{2}m\|V_c\|^2 + \frac{1}{2}m_0\|V_0\|^2 + \frac{1}{2}(I + I_0)\|\Omega\|^2 + \frac{1}{2}\sum_{i=1}^2 [m_i\|V_i\|^2 + I_i\|\Omega + \omega_i\|^2] \quad (5)$$

در اینجا V_c و V_0 به ترتیب بردار سرعت محوری جرم‌های m_0 و m_i می‌باشند. همچنین، I_0 و I_i مونتوم اینرسی جرم‌های m_0 و m_i و I ممان اینرسی جرم m می‌باشد. علاوه براین، ω_i بردار سرعت زاویه‌ای جرم‌های پاندولی و Ω بردار سرعت زاویه‌ای فضایپما می‌باشد. برای بردار دلخواه p ، \hat{p} ماتریس پاد متقابن است.

$$V_c = \dot{r}_c + \hat{\Omega} \times r_c = \begin{bmatrix} \dot{x} \\ \dot{y} \\ 0 \end{bmatrix} + \hat{\Omega} \times \begin{bmatrix} x - b \\ y \\ 0 \end{bmatrix} \quad (6)$$

$$V_0 = \dot{r}_0 + \hat{\Omega} \times r_0 = \begin{bmatrix} \dot{x} \\ \dot{y} \\ 0 \end{bmatrix} + \hat{\Omega} \times \begin{bmatrix} x - h_0 \\ y \\ 0 \end{bmatrix} \quad (7)$$

$$V_i = \dot{r}_i + \hat{\Omega} \times r_i = \begin{bmatrix} \dot{x} + l_i \dot{\phi}_i \sin \varphi_i \\ \dot{y} + l_i \dot{\phi}_i \cos \varphi_i \\ 0 \end{bmatrix} + \hat{\Omega} \times \begin{bmatrix} x + h_i - l_i \cos \varphi_i \\ y + l_i \sin \varphi_i \\ 0 \end{bmatrix} \quad (8)$$

$$p = \begin{bmatrix} p_1 \\ p_2 \\ p_3 \end{bmatrix} \Rightarrow \hat{p} = \begin{bmatrix} 0 & p_3 & p_2 \\ -p_3 & 0 & -p_1 \\ -p_2 & p_1 & 0 \end{bmatrix}, \omega_i = [\dot{\phi}_i],$$

$$\Omega = \begin{bmatrix} 0 \\ 0 \\ \Omega_3 \end{bmatrix}$$

در معادلات ۱ و ۲، τ_t و τ_r به ترتیب بردار نیروها و مومنتوم‌های کلی هستند که بر مرکز جرم فضایپما اعمال می‌شوند و بردار سرعت محوری مرکز جرم مخزن می‌باشد (معادله ۹).

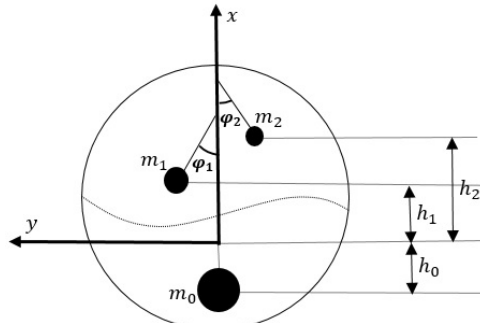
$$\tau_t = \begin{bmatrix} F \cos \delta \\ F \sin \delta \\ 0 \end{bmatrix}, \tau_r = \begin{bmatrix} 0 \\ 0 \\ M + F(b + d) \sin \delta \end{bmatrix}$$

$$V = \begin{bmatrix} v_x \\ v_y \\ 0 \end{bmatrix} = \begin{bmatrix} \dot{x} \\ \dot{y} \\ 0 \end{bmatrix} + \hat{\Omega} \times \begin{bmatrix} x \\ y \\ 0 \end{bmatrix} \quad (9)$$

در معادله ۳ نیز i بردار زوایای وضعیت پاندولها، و R تابع اتلاف رایلی است که برای شامل ساختن اتلافات اجزای داخلی در این معادله ظاهر شده است.

سوخت موجود در فضایپما به وسیله مدل مکانیکی پاندولی پرداخته شده است.

همان‌طورکه در شکل ۱ می‌توان مشاهده کرد، فضایپما می‌در نظر گرفته شده است که در حال انجام مانور در صفحه است. این فضایپما دارای یک مخزن کروی است که تنها بخشی از آن پر است. همچنین این فضایپما دارای سه درجه آزادی می‌باشد و میزان انحراف آن از محور ثابت در امتداد محور طولی فضایپما با θ نشان داده می‌شود. در اینجا فرض می‌کنیم که کل جرم فضایپما به جز جرم سوخت، به صورت یک جرم نقطه‌ای (m) در مرکز جرم فضایپما قرار دارد. فاصله این نقطه تا مفصل گیمبال با d و تا مرکز جرم مخزن با b نشان داده می‌شود.



شکل ۲- مدل دو پاندولی تلاطم سوخت

در این مقاله سوخت موجود در مخزن فضایپما به دو قسمت متلاطم و غیرمتلاطم تقسیم‌بندی شده است. همان‌طورکه در شکل ۲ می‌توان مشاهده کرد، جرم غیرمتلاطم سوخت توسط یک جسم صلب کروی (m_0) که همراه با مخزن و فضایپما حرکت کرده و در مرکز سوخت غیرمتلاطم واقع است، مدل شده است. جرم متلاطم نیز توسط دو جرم پاندولی ($m_i, i = 1, 2$) که توصیف‌کننده ویژگی‌های دو مدل اول تلاطم می‌باشد و با فاصله l_i از نقطه اتصال پاندول به محور x قرار دارند و هر کدام دارای یک درجه آزادی می‌باشند، مدل شده است. برای به دست آوردن معادلات دینامیک ترکیب شده فضایپما و پاندولها، مرکز مختصات را در مرکز جرم مخزن قرار می‌دهیم. فاصله مرکز مختصات تا جرم‌های m_0 و m_i با h_i و h_0 و زاویه پاندولها نسبت به محور x با φ_i نشان داده شده است. معادلات دینامیکی مورد نظر با استفاده از معادلات کرشمef معادلات ۱ تا ۳ به دست خواهد آمد [۲۲].

$$\frac{d}{dt} \frac{\partial L}{\partial v} + \hat{\Omega} \times \frac{\partial L}{\partial v} = \tau_t \quad (1)$$

$$\frac{d}{dt} \frac{\partial L}{\partial \Omega} + \hat{\Omega} \times \frac{\partial L}{\partial \Omega} + \hat{V} \times \frac{\partial L}{\partial v} = \tau_r \quad (2)$$

$$\frac{d}{dt} \frac{\partial L}{\partial \zeta} - \frac{\partial L}{\partial \zeta} + \frac{\partial R}{\partial \zeta} = 0 \quad (3)$$

$$(mb^2 + m_0 h_0^2) \dot{\Omega}_3 + (I + I_0) \dot{\Omega}_3 + mba_y - \sum_{i=1}^2 [m_i h_i^2 \dot{\Omega}_3 + m_i l_i h_i (\dot{\Omega}_3 + \dot{\varphi}_i) - m_i l_i a_y - \epsilon_i \dot{\varphi}_i] = M + F(b+d) \sin \delta \quad (17)$$

$$(I_i + m_i l_i^2) (\dot{\Omega}_3 + \dot{\varphi}_i) - m_i l_i h_i \dot{\Omega}_3 + m_i l_i (\dot{v}_x \varphi_i + a_y) + \epsilon_i \dot{\varphi}_i = 0, \forall i \quad (18)$$

طراحی کنترلر

در این بخش به طراحی کنترل برای کنترل همزمان وضعیت فضاییما و تلاطم سوخت خواهیم پرداخت. بدین منظور سیستم دینامیکی فضاییما و پاندولها معروفی شده در بخش قبل، در نظر گرفته شده است و معادلات دینامیک ترکیب شده فضاییما و پاندولها نیز در بخش قبل به دست آمد. حال اگر فرض کنیم ورودی‌های کنترل (مومتوом حول مرکز جرم و انحراف زاویه F گیمبال) صفر باشد، و نیروی تراست موتور اصلی، ثابت و برابر با F باشد، آنگاه یک رابطه تعادل نسبی به صورت زیر برقرار خواهد بود:

$$v_y = \tilde{v}_y, \theta = \tilde{\theta}, \Omega_3 = 0, \zeta_i = \omega_i = 0 \quad (19)$$

در اینجا \tilde{v}_y و $\tilde{\theta}$ مقداری ثابت و دلخواه هستند که در اینجا صفر در نظر گرفته شده است. با این فرض اولین معادله از معادلات دینامیکی به ترتیب برای معادلات غیرخطی و خطی به فرم زیر تبدیل خواهد شد:

$$a_x = \frac{F}{m+m_0+\sum_{i=1}^2 m_i} \quad (20)$$

$$\dot{v}_x = \frac{F}{m+m_0+\sum_{i=1}^2 m_i} \quad (21)$$

با تبدیل ورودی‌های کنترل (δ و M) به ورودی‌های جدید (u_1 و u_2 ، سایر معادلات دینامیکی غیرخطی، معادلات ۲۲ تا ۲۴ به فرم کاهش یافته نوشته می‌شود.

$$\dot{v}_y = u_1 + \Omega_3 v_x \quad (22)$$

$$\dot{\Omega}_3 = u_2 \quad (23)$$

$$\begin{aligned} \ddot{\varphi}_i &= -u_1 \cos \varphi_i \frac{m_i l_i}{l_i + m_i l_i^2} - a_x \sin \varphi_i \frac{m_i l_i}{l_i + m_i l_i^2} - u_2 \\ &\quad \left(1 - \frac{m_i l_i h_i}{l_i + m_i l_i^2} \cos \varphi_i\right) - \frac{\epsilon_i}{l_i + m_i l_i^2} \dot{\varphi}_i + \Omega_3^2 \\ &\quad \frac{m_i l_i h_i}{l_i + m_i l_i^2} \sin \varphi_i, \forall i \end{aligned} \quad (24)$$

همچنین، با تبدیل ورودی‌های کنترل به ورودی‌های جدید، معادلات دینامیکی خطی به فرم کاهش یافته زیر تبدیل خواهد شد:

$$\dot{v}_y = u_1 + \Omega_3 v_x \quad (25)$$

$$\begin{aligned} \zeta_i &= [\varphi_i] \\ R &= \frac{1}{2} \sum_{i=1}^2 \epsilon_i \dot{\varphi}_i^2 \end{aligned} \quad (10)$$

در اینجا ϵ_i ضریب دمپینگ جرم‌های پاندولی است. با توجه به رابطه لاغرانژین و معادلات ۱ و ۲ که نشان‌دهنده دینامیک فضاییما و معادله ۳ که نشان‌دهنده دینامیک اجزای داخلی سیستم (پاندول‌ها) هستند، می‌توان به این موضوع پی برد که دینامیک فضاییما تحت تأثیر دینامیک پاندول‌هاست و بالعکس.

با مشخص شدن پارامترهای استفاده شده در معادلات ۱-۳، با اعمال این معادلات، معادلات دینامیک ترکیب شده فضاییما و پاندول‌ها معادلات (۱۱-۱۴) به دست خواهد آمد:

$$\begin{aligned} (m + m_0) a_x + mb \Omega_3^2 + \sum_{i=1}^2 [m_i a_x + m_i l_i (\dot{\Omega}_3 + \dot{\varphi}_i)] \\ \sin \varphi_i - m_i l_i \Omega_3^2 + m_i l_i (\Omega_3 + \dot{\varphi}_i)^2 \cos \varphi_i = F \cos \delta \end{aligned} \quad (11)$$

$$\begin{aligned} (m + m_0) a_y + mb \dot{\Omega}_3 + \sum_{i=1}^2 [m_i l_i (\dot{\Omega}_3 + \dot{\varphi}_i) \cos \varphi_i - \\ m_i l_i \dot{\Omega}_3 - m_i l_i (\Omega_3 + \dot{\varphi}_i)^2 \sin \varphi_i] = F \sin \delta \end{aligned} \quad (12)$$

$$\begin{aligned} (mb^2 + m_0 h_0^2) \dot{\Omega}_3 + (I + I_0) \dot{\Omega}_3 + mba_y - \sum_{i=1}^2 [m_i h_i^2 \\ \dot{\Omega}_3 + m_i l_i h_i ((\dot{\Omega}_3 + \dot{\varphi}_i) \cos \varphi_i - (\Omega_3 + \dot{\varphi}_i) \sin \varphi_i) \\ - m_i l_i a_y - \epsilon_i \dot{\varphi}_i] = M + F(b+d) \sin \delta \end{aligned} \quad (13)$$

$$\begin{aligned} (I_i + m_i l_i^2) (\dot{\Omega}_3 + \dot{\varphi}_i) - m_i l_i h_i (\dot{\Omega}_3 \cos \varphi_i + \Omega_3^2 \sin \varphi_i) \\ + m_i l_i (a_x \sin \varphi_i + a_y \cos \varphi_i) + \epsilon_i \dot{\varphi}_i = 0, \forall i \end{aligned} \quad (14)$$

در اینجا a_x و a_y مولفه‌های شتاب مرکز جرم مخزن می‌باشند. معادلات دینامیکی به دست آمده غیرخطی هستند و برای اعمال کنترلهای کلاسیک و LQR بهتر است که این معادلات را خطی کنیم. بنابراین، با فرض تغییرات کوچک حول نقطه تعادل پارامترهای سیستم (φ_i و $\dot{\varphi}_i$) معادلات را خطی می‌کنیم.

$$\begin{aligned} (m + m_0) \dot{v}_x + \sum_{i=1}^2 [m_i \dot{v}_x + m_i l_i (\dot{\Omega}_3 + \dot{\varphi}_i) \varphi_i] = \\ F \cos \delta \end{aligned} \quad (15)$$

$$\begin{aligned} (m + m_0) a_y + mb \dot{\Omega}_3 + \sum_{i=1}^2 [m_i l_i (\dot{\Omega}_3 + \dot{\varphi}_i) - m_i l_i \dot{\Omega}_3] \\ = F \sin \delta \end{aligned} \quad (16)$$

کنترل فازی

در دو قسمت قبلی به طراحی کنترلهای خطی برای اهداف کنترلی پرداخته شد. اما در اینجا به طراحی کنترل بر مبنای منطق فازی پرداخته خواهد شد. بدین منظور با توجه به معادلات غیرخطی کاهش یافته دینامیکی، کنترلهای زیر را طراحی می‌شود.

$$u_1 = K_{p_1} v_y \quad (32)$$

$$u_2 = K_{p_2} \theta + K_{d_2} \Omega_3 \quad (33)$$

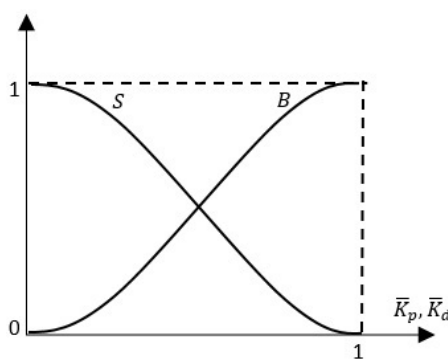
در اینجا K_{p_1} و K_{d_2} از روابط زیر به دست خواهند آمد.

$$K_{p_1} = K_{p_{1\min}} + (K_{p_{1\max}} - K_{p_{1\min}}) \bar{K}_{p_1} \quad (34)$$

$$K_{p_2} = K_{p_{2\min}} + (K_{p_{2\max}} - K_{p_{2\min}}) \bar{K}_{p_2} \quad (35)$$

$$K_{d_2} = K_{d_{2\min}} + (K_{d_{2\max}} - K_{d_{2\min}}) \bar{K}_{d_2} \quad (36)$$

در روابط ۳۲ تا ۳۶ \bar{K}_{p_1} و \bar{K}_{p_2} خروجی‌های منطق کنترل فازی مدانی هستند. همان‌طور که در شکل ۳ می‌توان دید، هر خروجی دوتابع عضویت گاوی (B و S) در بازه $[0, 1]$ دارد. ورودی‌های این منطق فازی v_z , θ و Ω_3 هستند و در شکل ۴ می‌توان مشاهده کرد که هر کدام از این ورودی‌ها دارای پنجتابع عضویت مثلثی (PM, PS, ZO, NS و NB) و دوتابع عضویت ذوزنقه‌ای (PB و PB) می‌باشند. در شکل ۴ e خطای ورودی‌های منطق فازی و $\dot{\theta}$ مشتق زمانی آن‌هاست. قوانین برای تعیین خروجی‌های \bar{K}_{p_1} و \bar{K}_{d_2} به ترتیب با استفاده از جدول‌های ۱ و ۲ استخراج می‌شوند [۲۳]. همچنین، قوانین برای تعیین خروجی \bar{K}_{p_1} نیز بدین صورت است که اگر v_z دارای تابع عضویت PM، PB و NB باشد، آنگاه \bar{K}_{p_1} براساس تابع عضویت B و اگر v_z دارای تابع عضویت PS, ZO و NS باشد، آنگاه \bar{K}_{p_1} براساس تابع عضویت S مشخص می‌شود.



شکل ۳- تابع عضویت خروجی‌ها

$$\dot{\Omega}_3 = u_2 \quad (26)$$

$$\ddot{\varphi}_i = -u_1 \frac{m_i l_i}{I_i + m_i l_i^2} - a_x \varphi_i \frac{m_i l_i}{I_i + m_i l_i^2} - u_2 (1 - \frac{m_i l_i h_i}{I_i + m_i l_i^2}) - \frac{\epsilon_i}{I_i + m_i l_i^2} \dot{\varphi}_i, \forall i \quad (27)$$

کنترل کلاسیک

در این بخش با توجه به معادلات کاهش یافته خطی، با استفاده از قوانین کنترل تنسی (P) و مشتق‌گیر- تنسی (PD)، به طراحی کنترل برای رسیدن به اهداف کنترلی خواهیم پرداخت.

$$u_1 = k_{p_1} v_y \quad (28)$$

$$u_2 = k_{p_2} \theta + k_{d_2} \Omega_3 \quad (29)$$

در روابط بالا k_{d_2} و k_{p_1} بهره‌های کنترلی می‌باشند.

LQR

در این بخش نیز با توجه به معادلات خطی کاهش یافته دینامیک فضاییما و پاندول‌ها، با استفاده از قانون کنترلی LQR به طراحی کنترل خواهیم پرداخت. برای این منظور تابع هزینه‌ای را که باید کمینه شود، به صورت معادله (۳۰) تعریف می‌شود:

$$J = \frac{1}{2} X^T H X + \frac{1}{2} \int_0^{t_f} (X^T Q X + U^T R U) dt \quad (30)$$

در این رابطه H تابع همیلتونین است، و به صورت زیر تعریف می‌شود:

$$H = X^T Q X + U^T R U + P^T (A X + B U) \quad (31)$$

در روابط (۳۰) و (۳۱) R و Q ماتریس‌های نیمه معین حقیقی و مشیت هستند. برای سیستم درنظر گرفته شده، ماتریس‌های A , B , X و U به صورت زیر تعریف خواهند شد:

$$A = \begin{bmatrix} 0 & 0 & v_x & 0 & 0 & 0 & 0 \\ 0 & 0 & 1 & 0 & 0 & 0 & 0 \\ 0 & 0 & 0 & 0 & 0 & 0 & 0 \\ 0 & 0 & 0 & 0 & 1 & 0 & 0 \\ 0 & 0 & 0 & -d_1 & -e_1 & 0 & 0 \\ 0 & 0 & 0 & 0 & 0 & 0 & 1 \\ 0 & 0 & 0 & 0 & 0 & -d_2 & -e_2 \end{bmatrix}, X = \begin{bmatrix} v_y \\ \theta \\ \Omega_3 \\ \varphi_1 \\ \dot{\varphi}_1 \\ \varphi_2 \\ \dot{\varphi}_2 \end{bmatrix}$$

$$B = \begin{bmatrix} 1 & 0 \\ 0 & 0 \\ 0 & 1 \\ 0 & 0 \\ -c_1 & c_1 h_1 - 1 \\ 0 & 0 \\ -c_2 & c_2 h_2 - 1 \end{bmatrix}, U = \begin{bmatrix} u_1 \\ u_2 \end{bmatrix}$$

در اینجا

$$c_i = \frac{m_i l_i}{I_i + m_i l_i^2}, e_i = \frac{\epsilon_i}{I_i + m_i l_i^2}$$

$$d_i = \frac{F m_i l_i}{(m + m_0 + \sum_{i=1}^2 m_i) I_i + m_i l_i^2}$$

پیشنهاد شده عبارتی مثبت است. مشتق زمانی تابع کاندید لیاپانوف فوق، عبارتی به شکل زیر خواهد بود:

$$\dot{V} = [L] + [M]u_1 + \sum_{i=1}^2 [(fu_2 + g)\Omega_3] \quad (38)$$

در اینجا $[L]$, $[M]$, f و g توابعی از متغیرهای سیستم هستند. حال با استفاده از روابط (۳۹) و (۴۰) ورودی‌های کنترل مشخص می‌شود:

$$u_1 = -w_1[M] \quad (39)$$

در اینجا w_1 و w_2 اعدادی ثابت و دلخواه هستند. حال با جایگذاری $(u_1$ و $u_2)$ در رابطه (۳۸) خواهیم داشت:

$$\dot{V} = [L] - w_1[M]^2 - w_2\Omega_3^2 \quad (41)$$

در اینجا $[L]$ و $[M]$ از روابط زیر به دست می‌آیند:

$$[L] = -r_4 \sum_{i=1}^2 \left[\frac{Fm_il_i}{(m+m_0+m_i)I_i+m_il_i^2} \sin\varphi_i + \frac{\epsilon_i}{I_i+m_il_i^2} \right] \quad (42)$$

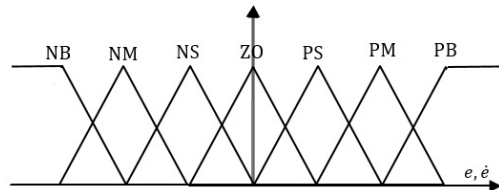
$$[M] = r_1v_z - r_4 \sum_{i=1}^2 \left[\frac{m_il_i}{I_i+m_il_i^2} \cos\varphi_i(\varphi_i + \Omega_3(1 - \frac{m_il_ih_i}{I_i+m_il_i^2} \cos\varphi_i)) \right] \quad (43)$$

رابطه (۴۱) حاصل جمع سه عبارت منفی است. بنابراین، مشتق زمانی تابع کاندید لیاپانوف یک عبارت منفی است. در نتیجه با توجه به مثبت بودن تابع کاندید لیاپانوف و منفی بودن مشتق زمانی آن، این تابع پایدار است.

تبیه‌سازی

در این بخش برای بررسی عملکرد کنترلهای طراحی شده در بخش قبل، یک مثال فیزیکی شبیه‌سازی شده است. در این مثال یک فضایی دارای یک مخزن کروی سوخت در حین انجام مأموریت فضایی مانور مداری در صفحه xy در نظر گرفته شده است. فرض شده است که فضایی در محیط بدون گرانش و تنها بخشی از مخزن آن پر است. برای مدل سازی تلاطم سوخت در این فضایی از مدل دو پاندولی در فضای دو بعدی استفاده شده است. پارامترهای فیزیکی سیستم فضایی و پاندول‌ها از جدول ۳ و شرایط اولیه از جدول ۴ استخراج می‌شوند.

معادلات دینامیکی سیستم در نظر گرفته شده همانند معادلات ۱۱-۱۴ است که البته این معادلات در فرم ساده و



شکل ۴- توابع عضویت ورودی‌ها

جدول ۱- قوانین خروجی \bar{K}_{p_2}

e	NB	NM	NS	ZO	PS	PM	PB
\dot{e}	B	B	B	B	B	B	B
	S	B	B	B	B	B	S
	S	S	B	B	B	S	S
	S	S	S	B	S	S	S
	S	S	B	B	B	S	S
	S	B	B	B	B	B	S
	B	B	B	B	B	B	B

جدول ۲- قوانین خروجی \bar{K}_{d_2}

e	NB	NM	NS	ZO	PS	PM	PB
\dot{e}	S	S	S	S	S	S	S
	B	B	S	S	S	B	B
	B	B	B	S	B	B	B
	B	B	B	B	B	B	B
	B	B	B	S	B	B	B
	B	B	S	S	S	B	B
	S	S	S	S	S	S	S

کنترل لیاپانوف

در این قسمت برای رسیدن به اهداف کنترلی به طراحی کنترل مبنی بر تابع کاندید لیاپانوف پرداخته می‌شود. بدین منظور معادلات غیرخطی کاهش‌یافته سیستم فضاییما و پاندول‌ها در نظر گرفته می‌شود. با توجه به معادلات کاهش یافته دینامیک پاندول‌ها تابع کاندید V در رابطه (۳۷) معرفی می‌شود.

$$V = \frac{1}{2}r_1v_y^2 + \frac{1}{2}r_2\theta^2 + \frac{1}{2}r_3\Omega_3^2 + \frac{1}{2}r_4 \left(\sum_{i=1}^2 [\dot{\varphi}_i^2 + \dot{\varphi}_i\Omega_3 \right. \\ \left. (1 - \frac{m_il_ih_i}{I_i+m_il_i^2} \cos\varphi_i)] \right) \quad (37)$$

تابع پیشنهاد شده عبارت است از حاصل ضربی از مرباعات پارامترهای دینامیکی فضاییما که عددی مثبت است و ضربی از پارامترهای دینامیکی پاندول‌ها که البته تأثیر این عبارت از عبارت اول به دلیل اینکه $r_4 \ll r_1, r_2, r_3$ کمتر است. بنابراین، تابع

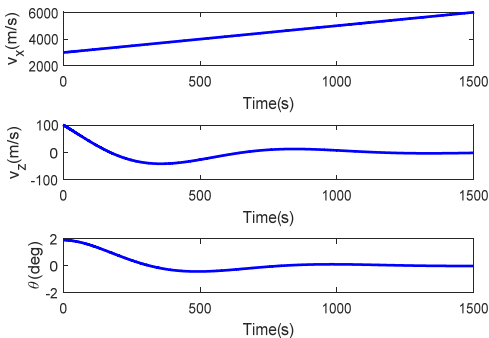
جدول ۶- پارامترهای کنترلی برای کنترلر فازی

مقدار	کمترین مقدار ضرایب بهره	مقدار	بیشترین مقدار ضرایب بهره
0.64×10^{-3}	$K_{p_1 min}$	1.2×10^{-3}	$K_{p_1 max}$
0.53×10^{-5}	$K_{p_2 min}$	$1 \times 5 \times 10^{-5}$	$K_{p_2 max}$
2×10^{-3}	$K_{d_2 min}$	$1 \times 6 \times 10^{-3}$	$K_{d_2 max}$

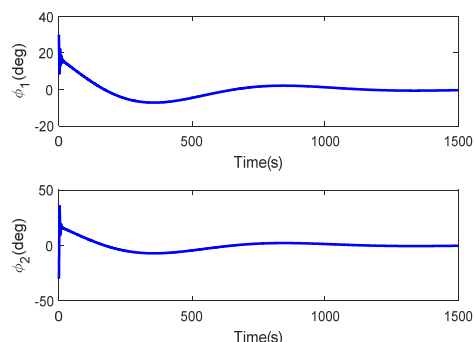
جدول ۷- پارامترهای کنترلی برای کنترلر لیاپانوف

مقدار	پارامتر کنترلی	مقدار	پارامتر کنترلی
1×10^{-3}	r_4	1.25×10^{-6}	r_1
1×10^{-6}	w_1	400	r_2
1×10^{-4}	w_2	500	r_3

شکل ۵ پاسخ زمانی بردارهای سرعت و زاویه وضعیت فضایپما و شکل ۶ پاسخ زمانی زاویه وضعیت پاندولها را در حالتی که از کنترل کلاسیک برای کنترل تلاطم استفاده شده، نشان داده است. همان‌طور که از این شکل‌ها مشخص است، بردار سرعت عمودی و زاویه وضعیت فضایپما و زاویه وضعیت پاندولها پس از گذشت ۱۰۰۰ ثانیه به طور مماسی به صفر میل می‌کنند. شکل ۷ نیز تغییرات ورودی‌های کنترل برای این حالت، در طول انجام مانور را نشان می‌دهد.



شکل ۵- پاسخ زمانی بردارهای وضعیت فضایپما برای کنترل کلاسیک



شکل ۶- پاسخ زمانی وضعیت پاندولها برای کنترلر کلاسیک

خطی شده همانند معادلات ۱۸-۱۵ هستند. برای برطرف کردن اثر مخرب پدیده تلاطم بر روی وضعیت فضایپما از کنترلرهای طراحی شده در بخش قبل استفاده شده است. پارامترهای کنترلی برای کنترلر کلاسیک از جدول ۵، ماتریس وزنی Q برای کنترلر LQR ماتریس 7×7 قطری با درایه‌های 1×10^{-10} ، 1×10^{-10} ، 1×10^{-10} ، 1×10^{-6} و 1×10^{-10} است. همچنین ماتریس R ، ماتریس 2×2 قطری با درایه‌های 1×10^{-6} می‌باشد. پارامترهای کنترلی برای کنترلر فازی از جدول ۶ و پارامترهای کنترلی برای کنترلر لیاپانوف از جدول ۷ قابل استخراج هستند.

با اعمال کنترلرهای خطی بر روی معادلات خطی کاهش یافته دینامیکی و کنترلرهای غیرخطی بر روی معادلات غیرخطی کاهش یافته دینامیکی، می‌توان عملکرد کنترلرهای طراحی شده را بر روی بردارهای سرعت و زاویه وضعیت فضایپما و زاویه وضعیت پاندولها مشاهده کرد. همچنین، با درنظر گرفتن معادلات دینامیکی (۱۵-۱۷) و (۱۳-۱۱) می‌توان پاسخ زمانی مومنتوم حول مرکز جرم فضایپما و زاویه انحراف گیمبال را مشاهده کرد.

جدول ۳- پارامترهای فیزیکی سیستم

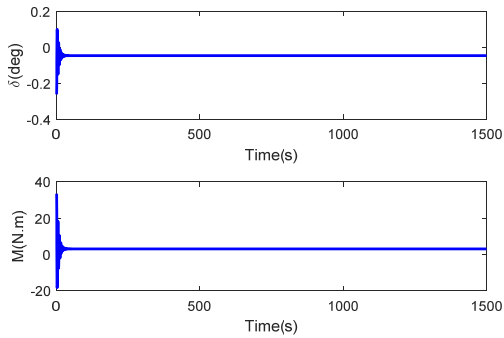
پارامتر	مقدار	واحد	پارامتر	مقدار	واحد
m	0.05	h_0	Kg	590	m
m	0.6	h_1	$Kg.m^2$	400	I
m	0.9	h_2	Kg	480	m_0
m	0.2	l_1	$Kg.m^2$	75	I_0
m	0.1	l_2	Kg	50	m_1
$Kg.m^2/s$	3.7	ϵ_1	$Kg.m^2$	10	I_1
$Kg.m^2/s$	0.5	ϵ_2	Kg	5	m_2
N	2250	F	$Kg.m^2$	1	I_2
m	1.5	d	m	-0.6	b

جدول ۴- مقادیر شرایط اولیه

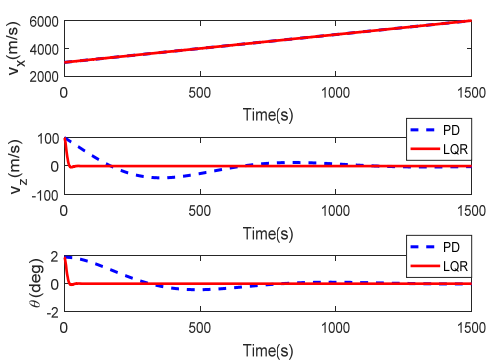
پارامتر	مقدار	واحد	پارامتر	مقدار	واحد
Deg	30	φ_{10}	m/s	3000	v_{x0}
Deg/s	0	$\dot{\varphi}_{10}$	m/s	100	v_{z0}
Deg	-30	φ_{20}	Deg	2	θ_0
Deg/s	0	$\dot{\varphi}_{20}$	Deg/s	0	Ω_0

جدول ۵- پارامترهای کنترلی برای کنترلر کلاسیک

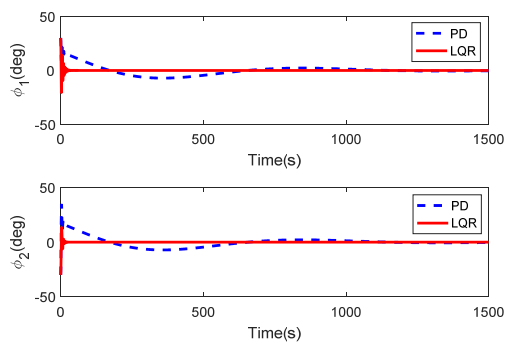
ضرایب بهره	مقدار
k_{p_1}	6×10^{-3}
k_{p_2}	5×10^{-5}
k_{d_2}	6×10^{-3}



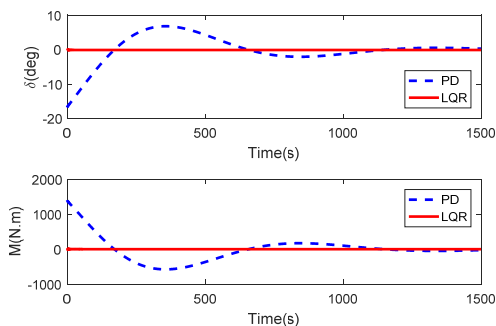
شکل ۱۰- تغییرات ورودی‌های کنترلی برای کنترلر LQR



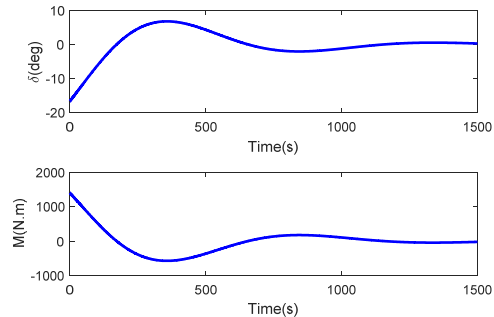
شکل ۱۱- مقایسه پاسخ زمانی وضعیت فضایپما برای کنترلرهای خطی



شکل ۱۲- مقایسه پاسخ زمانی وضعیت پاندول‌ها برای کنترلرهای خطی

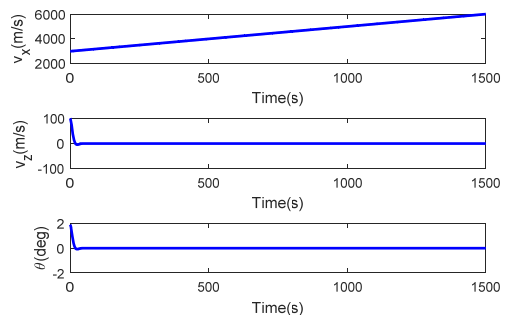


شکل ۱۳- مقایسه تغییرات ورودی‌های کنترلی برای کنترلرهای خطی

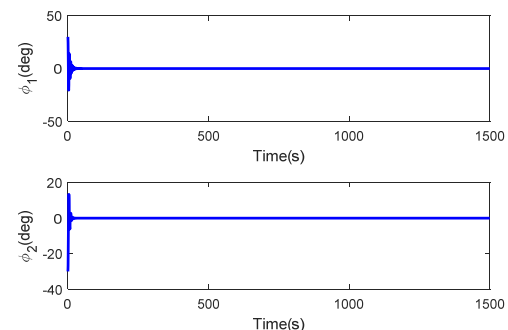


شکل ۷- تغییرات ورودی‌های کنترلی برای کنترلر کلاسیک

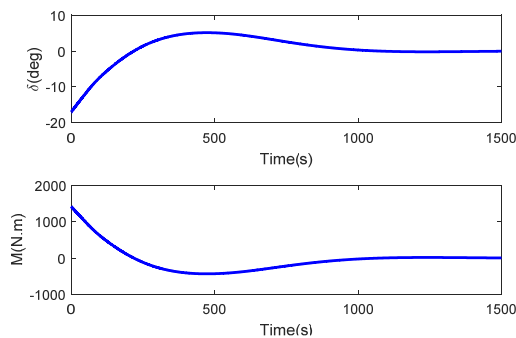
پاسخ زمانی بردارهای سرعت و زاویه وضعیت فضایپما در شکل ۸ و پاسخ زمانی وضعیت پاندول‌ها در شکل ۹، در حالتی که کنترلر LQR استفاده شده، نشان داده است. در شکل ۱۰ نیز تغییرات ورودی‌های کنترل برای این حالت نشان داده است. دو کنترلر LQR و کلاسیک، کنترلرهایی خطی هستند. در شکل‌های ۱۱ و ۱۲ نتایج حاصل از این دو کنترل با یکی‌گر مقایسه شده و همان‌طور که در این شکل‌ها مشخص است، کنترلر LQR در مدت زمان کوتاه‌تری پارامترهای سیستم فضایپما و پاندول‌ها را به حالت پایدار می‌رساند. اما، تغییرات این پارامترها نسبت به زمان در این حالت بیشتر است. همچنین، شکل ۱۳ تفاوت ورودی‌های کنترل در این دو حالت نشان داده است.



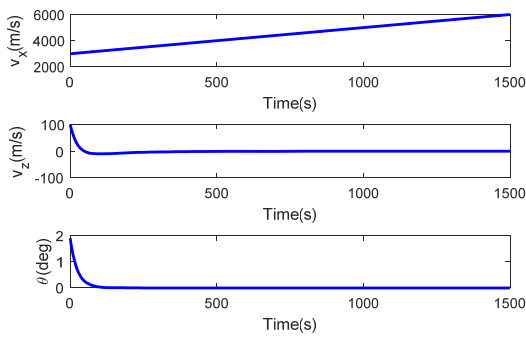
شکل ۸- پاسخ زمانی بردارهای وضعیت فضایپما برای کنترلر LQR



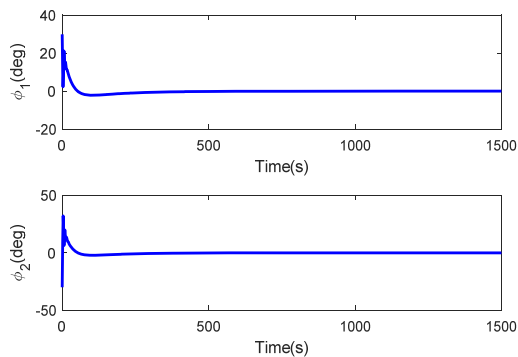
شکل ۹- پاسخ زمانی وضعیت پاندول‌ها برای کنترلر LQR



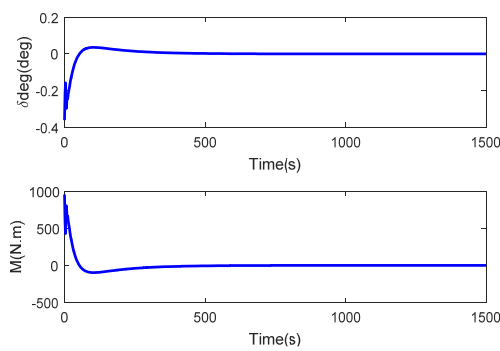
شکل ۱۶- تغییرات ورودی‌های کنترلی برای کنترلر فازی



شکل ۱۷- پاسخ زمانی بردارهای وضعیت فضایپما برای کنترلر لیاپانوف



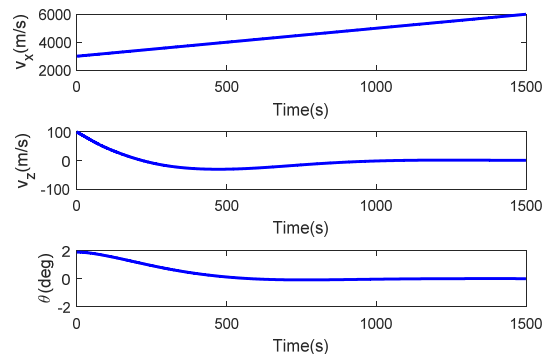
شکل ۱۸- پاسخ زمانی بردارهای وضعیت پاندول‌ها برای کنترلر لیاپانوف



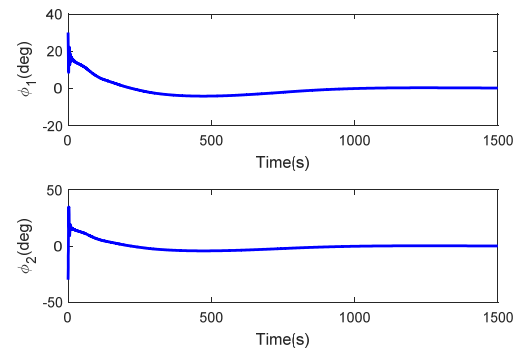
شکل ۱۹- تغییرات ورودی‌های کنترلی برای کنترلر لیاپانوف

کنترلر فازی کنترلی غیرخطی است که بر روی معادلات دینامیکی غیرخطی سیستم اعمال می‌شود. شکل ۱۴ پاسخ زمانی بردارهای سرعت و زاویه وضعیت فضایپما و شکل ۱۵ پاسخ زمانی زاویه وضعیت پاندول‌ها را نشان می‌دهد. بردار سرعت عمودی فضایپما، زاویه وضعیت فضایپما و زاویه وضعیت پاندول‌ها به ترتیب پس از گذشت ۱۰۰۰ ثانیه به طور مماسی به صفر میل می‌کند. همچنین، تغییرات ورودی‌های کنترل برای این حالت در شکل ۱۶ آورده شده است.

دیگر کنترلر غیرخطی استفاده شده در این مقاله، کنترلر غیرخطی مبنی برتابع کاندید لیاپانوف است. پاسخ‌های زمانی حاصل از شبیه‌سازی برای این کنترلر در شکل‌ها ۱۷ و ۱۸، که به ترتیب نشان‌دهنده پاسخ زمانی پارامترهای فضایپما و پاندول‌ها هستند، آورده شده است. شکل ۱۹ نیز تغییرات ورودی‌های کنترل در این حالت را نشان می‌دهد. همچنین، مقدار مشتق زمانی تابع کاندید لیاپانوف که معیاری برای بررسی پایداری این تابع است، در شکل ۲۰ نشان داده شده است. همانگونه که در این شکل قابل مشاهده است، مشتق زمانی این تابع عددی کوچکتر یا مساوی صفر است و بنابراین تابع کاندید لیاپانوف تابعی پایدار است.



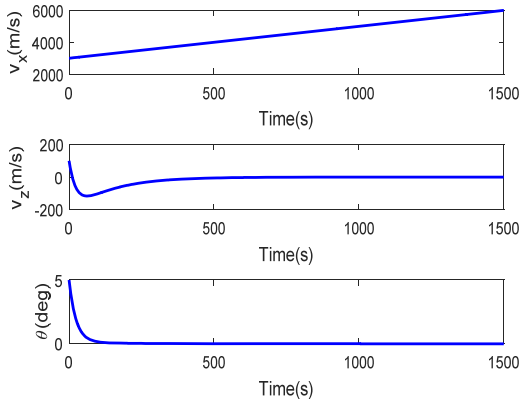
شکل ۱۴- پاسخ زمانی بردارهای وضعیت فضایپما برای کنترلر فازی



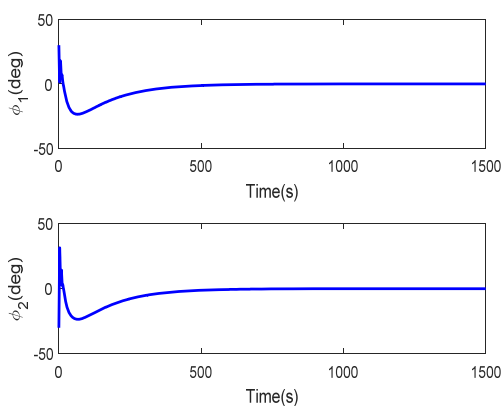
شکل ۱۵- پاسخ زمانی بردارهای وضعیت پاندول‌ها برای کنترلر فازی

مقایسه پاسخ زمانی پارامترهای سیستم فضایپیما و پاندول‌ها برای کنترلر فازی و لیاپانوف که هر دو کنترلر غیرخطی هستند، در شکل‌های ۲۱ و ۲۲ آورده شده است. همان‌طور که در این شکل‌ها مشخص است، کنترلر لیاپانوف سریع‌تر پارامترهای سیستم را به حالت پایدار می‌رساند. تفاوت ورودی‌های کنترل برای این دو حالت نیز در شکل ۲۳ نشان داده شده است.

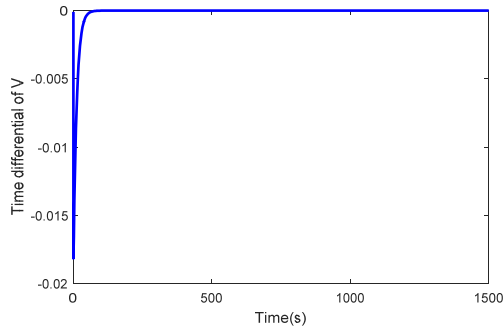
با مقایسه نتایج حاصل از اعمال کنترلرهای اعمال شده در این مقاله با کنترلر اعمال شده در سایر مقالات می‌توان به این نتیجه پی برد که کنترلرهای طراحی شده در اینجا پاسخ‌گویی قابل قبولی داشته‌اند. به عنوان مثال، پاسخ زمانی پردازهای وضعیت فضایپیما و وضعیت پاندول‌ها در مقاله‌ای که در سال ۲۰۱۱ انجام شده است [۱۸] و شرایطی تقریباً مشابه با مثال انجام شده در این مقاله دارد و کنترلر اعمال شده در آن کنترلر مبنی بر تابع کاندید لیاپانوف است، در شکل‌های ۲۴ و ۲۵ (با مقیاس زمانی ۱۵۰۰ ثانیه) آورده شده است.



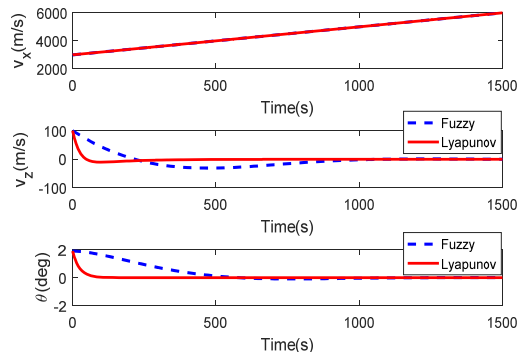
شکل ۲۴- پاسخ زمانی بردارهای وضعیت فضایپیما در مرجع [۱۶]



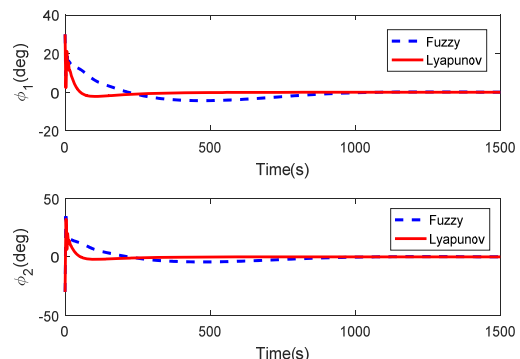
شکل ۲۵- پاسخ زمانی وضعیت پاندول‌ها در مرجع [۱۶]



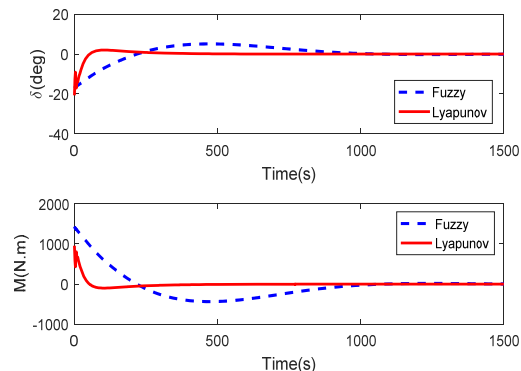
شکل ۲۰- مشتق زمانی تابع کاندید لیاپانوف



شکل ۲۱- مقایسه پاسخ زمانی وضعیت فضایپیما برای کنترلرهای غیرخطی



شکل ۲۲- مقایسه پاسخ زمانی وضعیت پاندول‌ها برای کنترلرهای غیرخطی



شکل ۲۳- مقایسه تغییرات ورودی‌های کنترلی برای کنترلرهای غیرخطی

- Power Series Expansion of Riccati Methods," *Journal of Space Science & Technology*, Vol. 7, No. 4, pp. 39-49 (in Persian).
- [9] Shageer, H. and Tao, G., "Modeling and Adaptive Control of Spacecraft with Fuel Slosh: Overview and Case Studies," *AIAA Guidance, Navigation and Control Conference and Exhibit*, AIAA 2007-6434, 2007, pp. 1-19.
- [10] Sidi, M.J., *Spacecraft Dynamics and Control, a Practical Engineering Approach*, Cambridge University Press, 1997, pp. 291-316.
- [11] Hill, D.E. and Baumgarten, J.R., "Control of Spin-Stabilized Spacecraft with Sloshing Fluid Stores," *Journal of Dynamics Systems, Measurement, and Control*, Vol. 114, Issue 4, 1992, pp. 1-4.
- [12] X. Yu, S. and R. Yun, Q., "Using Sliding Mode Control Method to Suppress Fuel Sloshing of a Liquid-Filled Spacecraft," *27th Chinese Control and Decision Conference*, 2015, pp. 1268-1273.
- [13] Cho, S., McClamroch, N. H. and Reyhanoglu, M., "Feedback Control of a Space Vehicle with Unactuated Fuel Slosh Dynamics," *AIAA Guidance, Navigation, and Control Conference*, 2000, AIAA 2000-4046, pp. 354-359.
- [14] Bandyopadhyay, B., Gandhi, P.S. and Kurode, S., "Sliding Mode Observer Based Sliding Mode Controller for Slosh-Free Motion Through PID Scheme," *IEEE Transaction on Industrial Electronics*, Vol. 56, No. 9, 2009, pp. 3432-3442.
- [15] Souza, A. G. and d. Souza, L. C. G., "Design of Satellite Attitude Control System Considering the Interaction Between Fuel Slosh and Flexible Dynamics," *11th International Conference on Vibration problems*, 2013, pp. 1-10.
- [16] Ibrahim, R. A., *Liquid Sloshing Dynamics, Theory and Applications*, Cambridge University Press, 2005, pp. 296-334.
- [17] Reyhanoglu, M., "Maneuvering Control Problem for a Spacecraft with Unactuated Fuel Slosh Dynamics," *IEEE Conference on Control Applications*, 2003, pp. 695-699.
- [18] Reyhanoglu, M. and R. Hervas, J., "Nonlinear Control of a Spacecraft with Multiple Fuel Slosh Modes," Conference on Decision and Control and European Control Conference, 2011, pp. 6192-6197.
- [19] R. Hervas, J., Reyhanoglu, M. and Tang, H., "Thrust-Vector Control of a Tree-Axis Stabilized Spacecraft with Fuel Slosh Dynamics," *International Conference on Control, Automation and Systems*, 2013, pp. 761-766.
- [20] R. Hervas, J. and Reyhanoglu, M., "Observer-Based Nonlinear Control of Space Vehicles with Multi-Mass Fuel Slosh Dynamics," *IEEE International Symposium on Industrial Electronics*, 2014, pp. 178-182.
- [21] Cho, S., McClamroch, N. H. and Reyhanoglu, M., "Dynamics of Multibody Vehicles and Their Formulation as Nonlinear Control Systems," *American Control Conference*, 2000, pp. 3908-3912.

بحث و نتیجه‌گیری

در این مقاله به پدیده تلاطم سوخت در فضاییما و کنترل اثر آن بر روی وضعیت فضاییما پرداخته شد. تلاطم سوخت بهوسیله مدل معادل مکانیکی دو پاندولی مدل شد و معادلات دینامیک ترکیب شده فضاییما و پاندولها به دست آمد. معادلات دینامیک سیستم فضاییما و پاندولها غیرخطی هستند. بنابراین، برای رسیدن به اهداف کنترلی که در واقع کنترل همزمان وضعیت فضاییما و پاندول‌هاست، بهتر است که از کنترلرهای غیرخطی استفاده شود. اما، می‌توان با استفاده از تقریب مناسب معادلات را خطی و سپس از کنترل خطی استفاده کرد. البته در این مقاله از دو کنترل خطی کلاسیک و LQR و دو کنترل غیرخطی فازی و لیپانوف استفاده شده است. نتایج شبیه‌سازی نشان‌دهنده عملکرد مناسب کنترلرهای طراحی شده برای رسیدن به همه اهداف کنترلی در هر دو حالت خطی و غیرخطی بود. البته باید به این نکته نیز اشاره کرد که کنترلر کلاسیک و فازی نسبت به دو کنترلر دیگر عملکرد کندتری داشتند.

مراجع

- [1] Deng, M., Baozeng, Y. and Jiarui, Y., "Position and Attitude Control of Spacecraft with Large Amplitude Propellant Slosh and Depletion," *Journal of Aerospace Engineering*, Vol. 30, Issue 6, 2017, pp. 1-12.
- [2] Pukdeboon, C. and Kumam, P., "Robust Optimal Sliding Mode Control for Spacecraft Position and Attitude Maneuvers," *Journal of Aerospace science and Technology*, vol. 43, 2015, pp. 329-342.
- [3] Meirovitch, L. and Kwak, M. K., "State Equation for a Spacecraft with Maneuvering Flexible Appendages in Terms of Quasi-Coordinates," *Applied Mechanics Reviews*, Vol. 42, Issue 11, 1989, pp. 161-170.
- [4] Peterson, L. D., Crawley, E. F. and Hansman, R. J., "Nonlinear Fluid Slosh Coupled to the Dynamics of Spacecraft," *AIAA Journal*, Vol. 27, No. 9, 1989, pp. 1230-1240.
- [5] Hung, R.J., Long, Y.T. and Chi, Y.M., "Slosh Dynamics Coupled with Spacecraft Attitude Dynamics Part1: Formulation and Theory," *Journal of Spacecraft and Rockets*, Vol. 33, No. 4, 1996, pp. 575-581.
- [6] Vadali, S. R., "Variable-Structure Control of Spacecraft Large-Angle Maneuvers," *Journal of Guidance, Control, and Dynamics*, Vol. 9, No. 2, 1986, pp. 235-239.
- [7] Navabi, M., Akhlaghi, M. R., "Nonlinear Optimal Control of Space Docking and Rendezvous Problem," *Journal of Space Science & Technology*, Vol. 8, No. 3, pp. 27-40 (in Persian).
- [8] Navabi, M., Tavana, M., Mirzaei, H., "Attitude Control of Spacecraft by State Dependent Riccati Equation and

- [23] Zhao, Z., Tomizuka, M. and Isaka, S., “Fuzzy Gain Scheduling of PID Controllers,” *IEEE Transaction on Systems, Man, and Cybernetics*, Vol. 23, Issue 5, 1993, pp. 1392-1398.
- [22] Reyhanoglu, M., Van der Schaft, A., Kolmanovski, I. and McClamroch, N. H., “Dynamics and Control of a Class of Underactuated Mechanical Systems,” *IEEE Transaction on Automatic Control*, Vol. 44, No. 9, 1999, pp. 1663-1671.